

北大 正員 塙 孝司
 " " 能町純雄
 " " 角田与史雄

1. まえがき

RC床版において、コンクリートの硬化、乾燥、温度変化などによる自由な収縮が外的に拘束されるととき、その設計に際して考慮されるのは、厚さ全體を貫通するひびわれの生じることである。その貫通ひびわれによつてRC版のコンクリートは分断されますが、鉄筋はそのひびわれを跨いで連続していゝので、力の相互伝達は可能である。著者らは、ひびわれ位置における伝達機構として二つの力学的モデルを仮想し、二の問題の取り扱いを試みている。その一つは鉄筋のせん断力の伝達、すなはち、鉄筋のダウエル作用によるものであり、二の問題についてはこれまで報告してきた。他の一つは、引張および圧縮鉄筋の対による曲げモーメントの伝達である。このとき、貫通ひびわれ附近において、引張鉄筋はコンクリートから引き抜かれ、圧縮鉄筋はコンクリートの中へ押しこまれることによって附加的曲げ変形が生じ、見かけ上、版の剛性が低下する。

本報告は、二の問題の基礎研究として、RC版をよりにモデル化し、人工的に貫通ひびわれを設けた供試体を用いて、この伝達曲げモーメントによつて生じる附加的曲げ変形特性を実験的に調べるものである。

2. 供試体および実験方法

供試体は、図.1に示すように、高さ25cm、有効高さ20cm、スパン180cmの矩形断面RCなりで、上、下端側に各2本の鉄筋をもつ対称複数鉄筋断面である。また、供試体両端20cmの位置から10cm間隔に横フジ型異形棒鋼SD35、D10のスタートップを5本配置した。供試体は、試験前日まで湿润養生を行い、残り1日で更に供試した。主鉄筋は、横フジ型異形棒鋼SD35のD13, 16, 19を用いた。コンクリートは、水セメント比45%，細骨材率45%の配合で早強ポルトランドセメントを用いた。供試体中央には、厚さ6mmの板をどう入し、コンクリート凝結直後でこれを複数することによって、高さ全體を貫通するひびわれを人工的に設けた。

載荷は、図.2に示すように、2段簡支で行い、人工ひびわれ部にせん断力が作用せず、曲げモーメントのみが作用するようになした。実験に用いた供試体断面の種類を表.1に示す。なお、主鉄筋のひずみは、ひびわれ端部から5, 15, 25, 35cmの位置につけてワイヤーストレングゲージによつて測定した。また、変形の直接測定として、コニタクト型ひずみ計を用いた(図.3参照)。

3. 実験結果および考察

図.4, 5は、供試体No.1のひびわれ部断面を境にしてほりの両側についての圧縮および引張鉄筋の各々に対する各荷重段階ごとのひずみを表わしている。その際、ひびわれ位置におけるひずみは、引張鉄筋と圧縮鉄筋のうちの軸力が等しく、ひびわれ作用モーメントMを伝達するとき仮定し、次式で求めた。

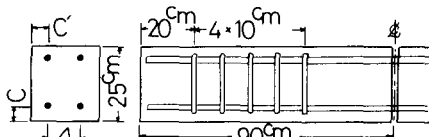


図.1 供試体

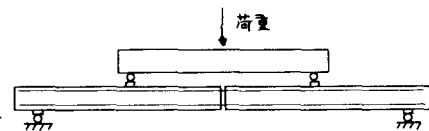


図.2 載荷方法

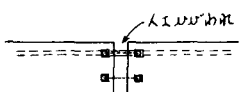


図.3 変形の直接測定

表.1

供試体No.	A(cm)	B(cm)	C(cm)	D(mm)
1	10	5	5	13
2	10	5	5	19
3	30	5	15	19
4	15	5	7.5	16
5	10	5	5	16
6	20	5	10	16

$$E_s = \frac{M}{E_s A_s d}$$

ここで、 E_s = 鉄筋のヤング係数、
 A_s = 鉄筋の断面積、 d = 上下の
 鉄筋の間の距離である。また、 ε_s
 図中の ε_s は、貫通ひびわれの付
 い場合の鉄筋のひずみで、次式
 より求めめた。

$$\varepsilon_s = \frac{M}{E_c I_c} \cdot \frac{d}{2}$$

ここで、 E_c = コンクリートのヤ
 ング係数、 I_c = 状態工の複算断
 面二次モーメントである。もし
 貫通ひびわれがなければ、一様
 曲げをうけていた領域では、鉄
 筋のひずみは一定値 ε_0 となるが、
 貫通ひびわれの存在によって、ひびわれ附近において鉄筋に大き
 な附加応力が生じ、それに伴って附加的変形が起る。鉄筋のうけ
 た軸応力はコンクリートとの付着によって伝達され、そのひずみは
 貫通ひびわれ位置から十分離れた所では ε_0 となるはずである。図4、
 5からわかるように、測定した鉄筋のひずみは、貫通ひびわれ位置
 から少し離れた所で ε_0 近くの値となる傾向にあり、良い結果を示して
 いる。鉄筋の附加的応力による変形、すなはち、鉄筋の押し込み量
 および引き抜き量は、図4、5において、実測ひずみと ε_0 の間に
 狹まる面積を求めることによって得られる。図6の実線は、供
 試体No.1の各荷重段階ごとの鉄筋応力 $\sigma_s = M / Asd$ と、それに対応
 する引き抜き量 Δ_{se} 、および押し込み量 Δ_{su} に関する道を最小二乗
 法によって二次放物線として求めた曲線を示している。また、同図
 の破線は、コニタクト型ひずみ計により直接測定した結果 Δ_{ce}, Δ_{cu}
 である。 Δ_{su} と Δ_{cu} および Δ_{se} と Δ_{ce} とはほぼ同じ値であると言え
 るが、鉄筋の引き抜き量は押し込み量の 40,50% 増となってい。表.2 k_2 の値 (10^3 kg/cm^2)

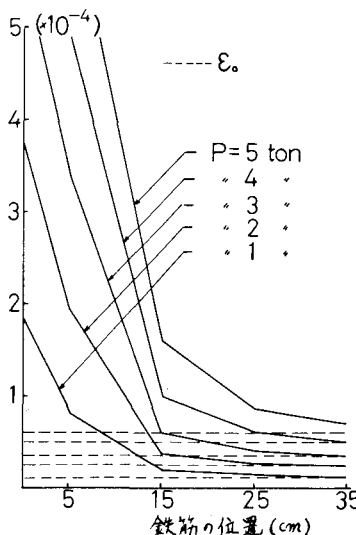


図.4 引張鉄筋のひずみ

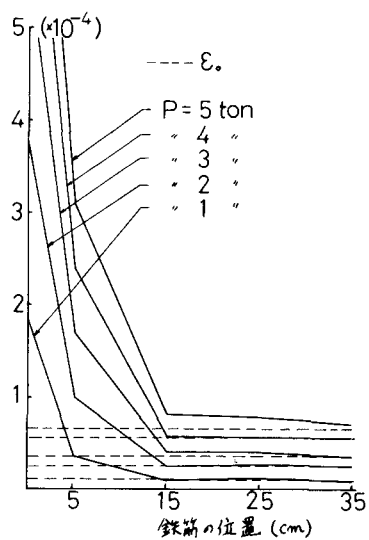


図.5 圧縮鉄筋のひずみ

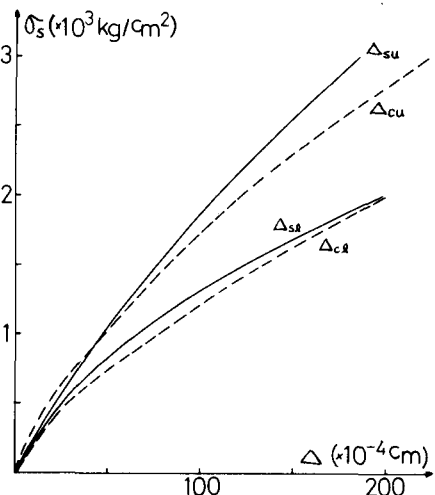


図.6 σ_s - Δ 曲線

次にこの結果をRC版に拡張するに当たり問題を簡単にするため、図6の σ_s - Δ 曲線を線形に近似し線形定数を求めた。

その際、床版底板を想定して圧縮鉄筋は引張鉄筋の $1/2$ であると仮定し、圧縮鉄筋は引張鉄筋の 2 倍の力をうけるものとし、引張

鉄筋が許容応力履歴に達するときの Δ_e と Δ_u を別々に求めた時の値を推定した。表.2 はその結果を示したもので、 Δ は床版のスパンを表出し、 Δ_e は配力鉄筋を対象としたときの単位幅当たりの伝達曲げモーメントと曲率との比の係数である。その結果、 Δ_e の値は、スパン長の増加とともに大きくなる傾向があるが、鉄筋径、側面拘束厚などの影響は顕著には現われず、概略、 $10^3 \sim 10^4 \text{ kg/cm}^2$ のオーダーであった。